

## ФОРМИРОВАНИЕ ЭТАЛОННЫХ ВОЛНОВЫХ ФРОНТОВ С ИСПОЛЬЗОВАНИЕМ ДИФРАКЦИОННЫХ ОПТИЧЕСКИХ ЭЛЕМЕНТОВ

### Введение

Традиционно расчет оптических элементов - формирователей волнового фронта - проводился методами цифровой голографии или методами лучевой оптики [1]. Однако, оптический элемент, созданный голографическим способом, работает в некотором порядке дифракции, что приводит к низкой энергетической эффективности. Лучевой же подход не учитывает эффекта дифракции света в свободном пространстве, что приводит к искаженному формированию требуемого распределения фазы. В данной работе рассматривается итеративный алгоритм для расчета формирователей волновых фронтов, работающий в рамках дифракционной оптики, и, следовательно, свободный от перечисленных недостатков. Этот алгоритм является модификацией известного алгоритма Герцберга-Секстона (ГС), использовавшегося для расчета дифракционных элементов, формирующих заданное распределение интенсивности, - киноформов [2-4]. Результаты численных экспериментов подтвердили эффективность предложенного метода.

Обсуждается, также, модификация алгоритма ГС для расчета амплитудных линз. Приведенные численные результаты демонстрируют хорошую работоспособность таких оптических элементов.

### Алгоритм расчета фазового ДОО

Если плоскость наблюдения  $(\xi, \eta)$  расположена в зоне дифракции Френеля, то комплексные амплитуды света в плоскости оптического элемента  $f(x, y)$  и в плоскости наблюдения  $F(\xi, \eta)$  связаны преобразованием Френеля:

$$F(\xi, \eta) = \frac{k}{z} \iint_{\Omega} f(x, y) H(x - \xi, y - \eta) dx dy, \quad (1)$$

где

$$H(x, y) = \exp\left[\frac{ik}{2z}(x^2 + y^2)\right]$$

- функция оптического отклика свободного пространства,  $k=2\pi/\lambda$  - волновое число света с длиной волны  $\lambda$ ,  $z$  - расстояние между плоскостями,  $\Omega$  - форма апертуры оптического элемента.

Для расчета фазового формирователя волнового фронта необходимо решить методом последовательных приближений нелинейное интегральное уравнение скалярной дифракции света:

$$\psi_0(\xi, \eta) = \arg \left\{ \iint_{\Omega} A(x, y) e^{i\varphi_0(x, y)} \times \right. \\ \left. \times H(x - \xi, y - \eta) dx dy \right\}, \quad (2)$$

где  $\psi_0(\xi, \eta)$  - требуемое распределение фазы в плоскости, находящейся на расстоянии  $z$  от элемента,  $A(x, y)$  - амплитуда освещающего пучка (для плоской волны  $A(x, y)=1$ ),  $\varphi_0(x, y)$  - искомая фаза.

Алгоритм решения уравнения (2) следующий [5]. Начальное приближение искомой фазы  $\varphi_0(x, y)$  выбирается случайным. От функции  $A(x, y)e^{i\varphi_0(x, y)}$  вычисляется преобразование Френеля. Полученная функция  $F_n(\xi, \eta)$ , где  $n$  - номер итерации, заменяется на функцию  $F_n'(\xi, \eta)$  по правилу:

$$F_n'(\xi, \eta) = |F_n(\xi, \eta)| e^{i\psi_0(\xi, \eta)} \quad (3)$$

От функции  $F_n'(\xi, \eta)$  вычисляется обратное преобразование Френеля и полученная функция  $f_n(x, y)$  в плоскости элемента заменяется на функцию  $f_n'(x, y)$  по правилу:

$$f_n'(x, y) = \begin{cases} A(x, y) \frac{f_n(x, y)}{|f_n(x, y)|}, & (x, y) \in \Omega, \\ 0, & (x, y) \notin \Omega \end{cases} \quad (4)$$

Сходимость этого процесса контролируется по среднеквадратичному отклонению:

$$\delta_{\varphi} = \left[ \frac{\int_{-\infty}^{\infty} \int_{-\infty}^{\infty} [\psi_0(\xi, \eta) - \psi_n(\xi, \eta)]^2 d\xi d\eta}{\int_{-\infty}^{\infty} \int_{-\infty}^{\infty} [\psi_0(\xi, \eta)]^2 d\xi d\eta} \right]^{1/2}$$

$\psi_0$  и  $\psi_n$  - заданная и рассчитанная на  $n$ -й итерации фазы светового поля на расстоянии  $z$ .

### Результаты численного эксперимента

Алгоритм (3)-(4) использовался для расчета фазовых оптических элементов, формирующих заданные распределения фазы полиномиального типа на некотором расстоянии. Были выбраны следующие параметры расчета: число отсчетов  $128 \times 128$ , радиус круглой диафрагмы  $\Omega$  равен  $0.3 \text{ мм}$ , дискретность по переменным  $(x, y)$  и  $(\xi, \eta)$  равна  $0.01 \text{ мм}$ ,  $k = 10^4 \text{ мм}^{-1}$ ,  $z_0 = 20 \text{ мм}$  - расстояние до плоскости наблюдения. Амплитуда пучка, освещающего элемент, была гауссовой:

$$A_0(x, y) = \exp\left[-\frac{x^2 + y^2}{w^2}\right]$$

Количество итераций равно 10. Дальнейшее увеличение числа итераций не приводило к заметному изменению результатов.

На Рис.1 показаны результаты расчета для случая формирования волнового фронта следующего вида:

$$\psi_0(\xi, \eta) = \alpha(\xi^4 + \eta^4), \quad \alpha = 300\text{mm}^{-4} \quad (5)$$

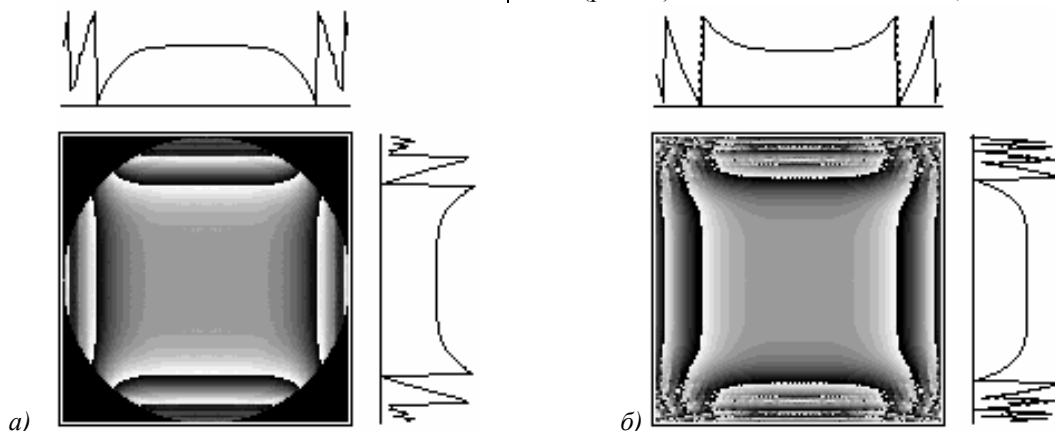


Рис. 1. Формирование волнового фронта: а) - распределение фазы на элементе, освещаемом гауссовым пучком; б) - распределение фазы на расстоянии  $z_0$ .

Затем дополнительно была введена на каждом шаге операция квантования функции распределения фазы по  $M$  уровням значений фазы: Затем дополнительно была введена на каждом шаге операция квантования функции распределения фазы по  $M$  уровням значений фазы:

$$\begin{aligned} \varphi_k(x, y) &= \frac{2\pi m}{M}, \\ \frac{2\pi m}{M} &\leq \varphi_k \leq \frac{2\pi(m+1)}{M}, \\ k &= \overline{1, N}, \quad m = \overline{0, M-1}, \end{aligned} \quad (6)$$

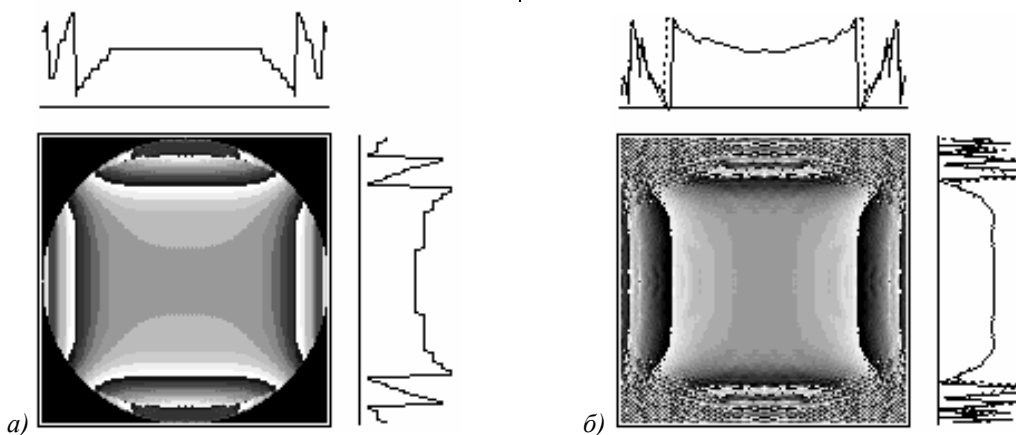


Рис. 2. Формирование волнового фронта с квантованием фазы по 10 уровням. а) - распределение фазы на элементе, освещаемом гауссовым пучком; б) - распределение фазы на расстоянии  $z_0$ .

Приведенные результаты говорят о том, что, применяя предложенный алгоритм, за небольшое число итераций удастся рассчитать фазовые оптические элементы, которые на некотором расстоянии формируют волновые фронты типа

$$\psi(\xi, \eta) = \pm \alpha(\xi^k \pm \eta^l),$$

На рис. 1 показаны: фаза  $\varphi(x, y)$  оптического элемента (а), ее центральные сечения по осям  $x$  и  $y$ ; и фаза, сформированная на расстоянии  $z_0$  (б), ее центральные сечения по осям  $\xi$  и  $\eta$  (сплошная линия на рис.1б - рассчитанная фаза, пунктирная линия - заданная фаза (5)). Отличие рассчитанной фазы (рис.1б) от заданной составило 0,1%.

где  $k$  - номер итерации.

На рис. 2 и рис. 3 приведены результаты квантования для предыдущего случая формирования волнового фронта  $\psi_0(\xi, \eta)$  по 10 и 5 уровням фазы соответственно.

При этом отличие рассчитанной фазы от заданной составило в среднем 7,7% для рис.2 и 15,7% для рис.3.

отличающиеся от заданных не более, чем на 7-8% при не менее, чем 10-ти уровнях квантования.

#### Амплитудные линзы

Рассмотрим еще один вариант модификации алгоритма ГС, позволяющий решить задачу расчета амплитудных линз. В данном случае методом по-

следовательных приближений решается интегральное уравнение вида:

$$I(\xi, \eta) = \left| \frac{k}{2\pi z} \iint_{\Omega} B(x, y) H(x - \xi, y - \eta) dx dy \right|^2 \quad (6)$$

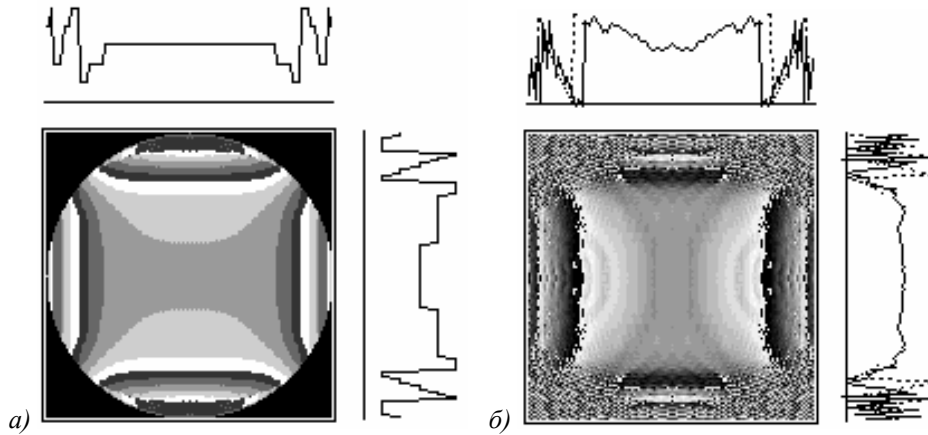


Рис. 3. Формирование волнового фронта с квантованием фазы по 5-ти уровням. а)-распределение фазы на элементе, освещаемом гауссовым пучком; б)-распределение фазы на расстоянии  $z_0$

Решение уравнения (6) ищется из условия минимизации функционала:

$$M = \int \int_{-\infty}^{\infty} W(\xi, \eta) \left[ \sqrt{I_0} - |F(\xi, \eta)| \right]^2 d\xi d\eta + \alpha^2 \int \int_{-\infty}^{\infty} |F(\xi, \eta)|^2 d\xi d\eta \quad (7)$$

где  $I_0 = I(\xi_0, \eta_0)$  - пиковое значение интенсивности в точке  $(\xi_0, \eta_0)$ ,  $W(\xi, \eta)$  - весовая апертурная функция:

$$W(\xi, \eta) = \begin{cases} 1, & (\xi, \eta) \in S \\ 0, & (\xi, \eta) \notin S \end{cases}$$

$S$  - малая область вблизи точки,  $\alpha$  - постоянная, регулирующая уровень энергии рассеянного света. Первое слагаемое в (7) показывает отклонение рассчитанного поля от пика интенсивности в точке  $(\xi_0, \eta_0)$ . Максимальная дифракционная эффективность достигается при условии примерного равенства энергии шума и сигнала:

$$I_0 \approx \alpha^2 \int \int_{-\infty}^{\infty} |F(\xi, \eta)|^2 d\xi d\eta \quad (8)$$

Алгоритм минимизации функционала (7) аналогичен алгоритму ГС (3)-(4), но вместо замены (3) используется замена:

$$F_n^{\circ}(\xi, \eta) = \left( \sqrt{I_0} W(\xi, \eta) + \alpha |F(\xi, \eta)| \right) \frac{F(\xi, \eta)}{|F(\xi, \eta)|}, \quad (9)$$

а вместо замены (4) используется замена

$$f'(x, y) = \begin{cases} |f_n(x, y)|, & (x, y) \in \Omega \\ 0, & (x, y) \notin \Omega \end{cases} \quad (10)$$

где  $I(\xi, \eta)$  - требуемое распределение интенсивности на расстоянии  $z$  от амплитудного транспаранта,  $B(x, y)$  - искомое распределение амплитуды транспаранта.

На рисунке 4 представлены результаты численного эксперимента, моделировавшего работу амплитудной линзы, рассчитанной при помощи алгоритма (9)-(10). Рис. 4(а) демонстрирует амплитудный элемент, освещавшийся плоским пучком и его центральное сечение, а рис. 4(б) - распределение интенсивности на расстоянии  $z_0 = 160 \text{ mm}$ . Диаметр линзы равен  $3 \text{ mm}$ , волновое число  $k = 10^4 \text{ mm}^{-1}$ . Число итераций равно 15. Дифракционная эффективность полученной линзы составила 18,2%.

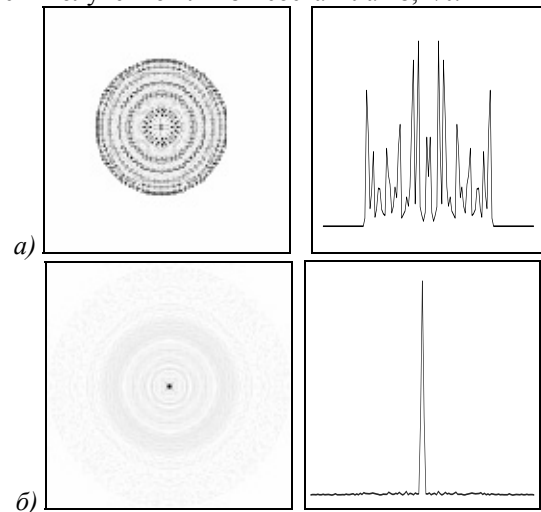
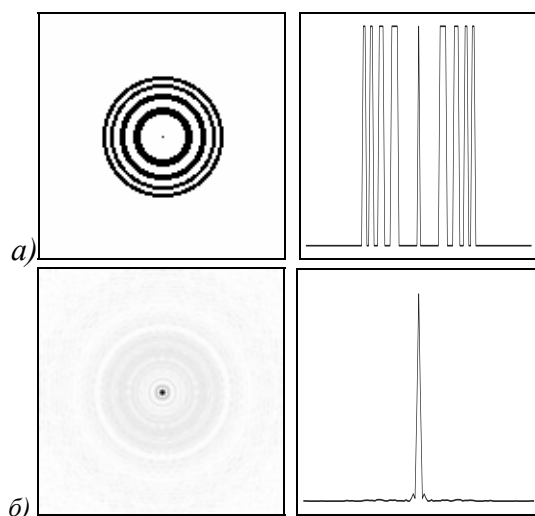


Рис. 4. Расчет амплитудной линзы: а) рассчитанный элемент и его центральное сечение; б) распределение интенсивности на расстоянии  $z_0$

На рисунке 5 приведены результаты работы амплитудной зонной пластинки Френеля с параметрами, аналогичными параметрам рассчитанной линзы. Рис. 5(а) демонстрирует распределение амплитудных зон на пластинке, а рис. 5(б) - распределение

интенсивности светового поля на расстоянии  $z_0$  и его центральное сечение. Дифракционная эффективность зонной пластинки составила 20,9%, но ширина центрального пика интенсивности была несколько больше, чем для амплитудного элемента, рассчитанного итеративным методом.



**Рис. 5.** Амплитудная зонная пластинка: а) - амплитудное пропускание зонной пластинки; б) - распределение интенсивности на расстоянии  $z_0$  и его центральное сечение.

## Заключение

Таким образом, в данной работе были представлены итеративные алгоритмы расчета дифракционных оптических элементов, формирующих заданные распределения фазы когерентного светового поля, и амплитудных линз, основанные на модификациях алгоритма Герчберга - Секстона. Приведены численные результаты, демонстрирующие возможность успешного применения предложенных алгоритмов.

## Литература

1. Голуб М.А., Живописцев Е.С., Карпеев С.В., Прохоров А.М., Сисакян И.И., Сойфер В.А. Получение асферических волновых фронтов при помощи голограмм. // Доклады АН СССР, 253 (1980) 1104-1108.
2. Lesem L.B., Hirsh P.M., Jordan J.A. The kinoform: A new wave front reconstruction device. // IBM J.Res.Develop., 13 (1969), 150-155.
3. Gerchberg R.W., Saxton W.O. A practical algorithm for the determination of phase from image and diffraction plane pictures. // Optik 35 (1972) 237-246
4. Kotlyar V.V., Nikolsky I.N., Soifer V.A. Adaptive iterative algorithm for focusator's synthesis. // Optik, 88 (1991) 17-19.
5. Kotlyar V.V., Philippov S.V. Phase diffractive elements forming pregiven phase distribution. // Opt. & Lasers Tech., 27 (1995) 229-233.